

doi: 10.13241/j.cnki.pmb.2015.19.004

UCF-101 对大鼠局灶性脑缺血再灌注后 JNK 和 ERK 活性的影响 *

苏丹颖¹ 吴海云² 吕曼华³ 张丽¹ 孙菲菲¹ 高冠群¹ 杨子超¹(1 哈尔滨医科大学附属四院神经内科 黑龙江哈尔滨 150001; 2 哈尔滨医科大学附属四院影像科 黑龙江哈尔滨 150001;
3 哈尔滨医科大学附属一院神经内科 黑龙江哈尔滨 150001)

摘要 目的:探讨 UCF-101 对局灶性脑缺血再灌注大鼠脑内 c-Jun 氨基末端激酶(JNK)和胞外信号调节酶(ERK)活性的影响,进一步探讨 UCF-101 对局灶性脑缺血再灌注损伤脑保护作用的机制。方法:采用大脑中动脉线栓法(MCAO)建立大鼠局灶性脑缺血再灌注模型,随机分为假手术组,缺血再灌注组,UCF 组,应用 TTC 检测大鼠脑梗死体积,TUNEL 法检测神经元凋亡,Western blot 检测 ERK 和 JNK 的活性。结果:UCF-101 可下调脑缺血再灌注大鼠脑组织 JNK 蛋白的活性,上调 ERK 蛋白的活性,并降低梗死体积、坏死和凋亡细胞数。结论:UCF-101 对大鼠局灶性脑缺血再灌注损伤有保护作用,抑制 JNK 凋亡通路、促进 ERK 生存通路,从而减轻细胞凋亡是其脑保护机制之一。

关键词: UCF-101; 脑缺血再灌注; 胞外信号调节酶; c-Jun 氨基末端激酶

中图分类号:Q95-3; R743 文献标识码: A 文章编号:1673-6273(2015)19-3613-03

The Effect of UCF-101 on the Activation of JNK and ERK after Focal Cerebral Ischemia-reperfusion Injury in Rats*

SU Dan-ying¹, WU Hai-yun², LV Man-hua³, ZHANG Li¹, SUN Fei-fei¹, GAO Guan-qun¹, YANG Zi-chao¹

(1 Department of Neurology, the Fourth Affiliated Hospital of Harbin Medical University, Harbin, Heilongjiang, 150001, China;

2 Department of Radiology, the Fourth Affiliated Hospital of Harbin Medical University, Harbin, Heilongjiang, 150001, China;

3 Department of Neurology, the First Affiliated Hospital of Harbin Medical University, Harbin, Heilongjiang, 150001, China)

ABSTRACT Objective: To investigate the neuroprotective effect of 5-[5-(2-nitrophenyl)furfuryliodine]-1,3-diphenyl-2-thiobarbituric acid (UCF-101) on activation of C-Jun NH₂-terminal kinases (JNK) and extracellular-regulated protein kinases (ERK) after cerebral ischemia-reperfusion injury in rats. **Methods:** The focal cerebral ischemia models of Wistar rats were established by the right middle cerebral artery occlusion (MCAO) with thread occlusion methods. Reperfusion began 1h after the right middle cerebral artery occlusion. Rats were randomly divided into sham operated group, ischemia-reperfusion group and UCF-101 treated group. Brain infarct volume was assessed by 2, 3, 5-triphenyl tetrazolium chloride and TUNEL staining was utilized to evaluate the amount of apoptosis. In addition, expressions of protein JNK and ERK were examined by Western blot analysis. **Results:** UCF-101 treatment significantly decreased cerebral infarct size and TUNEL-positive cells in hippocampus neurons. Furthermore, UCF-101 treatment decreased JNK and increased ERK expression. **Conclusion:** UCF-101 treatment has neuroprotective effects against cerebral ischemia-reperfusion injury in rats, and that this may be associated with differentially regulation of ERK and JNK expression.

Key words: UCF-101; Cerebral ischemia-reperfusion; ERK; JNK

Chinese Library Classification(CLC): Q95-3; R743 Document code: A

Article ID: 1673-6273(2015)19-3613-03

前言

近年来研究者发现一种重要的线粒体丝氨酸蛋白酶 O-mi/HtrA2 特异抑制剂 UCF-101,可以减轻脑、心、肾缺血再灌注损伤发挥保护作用^[1-10],但是 UCF-101 在局灶性脑缺血再灌注后的神经保护作用及其分子机制还不完全清楚。有研究表明丝裂原激活蛋白酶 (mitogen-activated protein kinases, MAPK) 信号转导途径参与了脑缺血损伤与修复机制。MAPK 家族主要有 3 个成员:即 p38MAPK(p38 mitogen activated protein kinases), 细胞外信号调节酶 (extracellular signal regulated protein kinases, ERK), c-Jun 氨基末端激酶(c-jun N-terminal kinases, JNK)。

ERK 通路能够促进细胞存活、抑制细胞凋亡,而 JNK 通路主要在促细胞凋亡中发挥作用^[11-13]。本实验以建立的大鼠 MCAO 模型为研究对象,观察 UCF-101 对大鼠脑缺血再灌注后脑梗死体积及凋亡细胞数的影响,应用 Western blot 检测 pJNK 及 pERK 的表达水平,探讨 UCF-101 在脑缺血再灌注损伤中保护机制。

1 材料与方法

1.1 实验动物

45 只雄性 10 周龄 Wistar 大鼠,体重约 250-300 g,购自哈尔滨兽研研究所。饲养温度 22~24 °C,湿度 50~70%,大鼠可自由走动,饮水,摄取标准饲料。

* 基金项目:黑龙江省教育厅科学技术研究项目(12511255)

作者简介:苏丹颖(1969-),女,医学博士,硕士生导师,副教授,副主任医师,电话:13945019426,E-mail:sudanying2006@sina.com

(收稿日期:2015-02-08 接受日期:2015-02-26)

1.2 实验分组

随机分为3组:(1)假手术组:除不插线栓外,其余步骤同缺血组;(2)缺血组:常温条件下缺血2 h后再灌注6 h;(3)UCF组:于再灌注前10分钟腹腔内注射UCF-101 10 mg/kg;其余各组注射等量生理盐水。

1.3 模型的制备

采用改良的Zea Longa^[14]线栓法建立大鼠左侧MCAO/R模型。参照Longa神经功能缺失评分标准,0分:无神经功能缺损症状;1分:左前肢不能完全伸直,提尾实验阳性;2分:行走时向左转圈;3分:行走时向左侧倾倒;4分:意识丧失,不能自主行走。以大鼠麻醉清醒后1~4分为有效模型。

1.4 脑梗死体积的测定

脑缺血再灌注6 h后,将大鼠断头取脑。切成等距的冠状脑片,避光,放入37℃的TTC溶液中染色30 min,甲醛固定24 h,用计算机图像分析软件测量脑梗死体积,用梗死体积占半球体积百分比(V%)表示。

1.5 TUNEL法观察海马神经元凋亡

采用TUNEL试剂盒(武汉博士德生物技术公司),实验步骤按试剂盒提供的操作手册进行。每只动物选取5张切片,每张切片选取8个凋亡细胞密集区(200×),计算每个视野中的阳性细胞数,其均数作为该例动物的凋亡细胞数。

1.6 蛋白印记法

将脑组织分别加入1 mL细胞裂解液研磨,匀浆离心后,去上清液用Bradford蛋白浓度测定试剂盒检测蛋白含量。取50

μg样本经十二烷基硫酸钠-聚丙烯酰胺凝胶电泳及转膜后,蛋白即转至PVDF膜。20%脱脂奶粉室温封闭2 h,加一抗:磷酸化和总的pJNK、pERK、β-actin兔抗鼠多克隆抗体(北京博奥森公司),4℃过夜,随后TBST洗膜3次,加二抗过氧化物酶标记的羊抗兔IgG(北京中杉生物技术公司),室温孵育2 h,ECL显色。用Quantiscan 4.4分析软件测定每条带的光密度值。以β-actin为内参照。将相对光密度值作为统计学分析数据。

1.7 统计学分析

采用SPSS 17.0统计软件包对数据进行处理,实验数据用 $\bar{x} \pm s$ 表示,两组间比较采用t检验分析,P<0.05表示有统计学意义。

2 结果

2.1 各组相对梗死体积的比较

假手术组的脑组织切片全部红色,未见梗死体积,缺血组大鼠右侧额、顶叶皮质及纹状体可见明显的白色梗死灶,相对梗死体积为 $28.0 \pm 3.0\%$,与缺血组比较,UCF治疗组大鼠右侧白色梗死灶明显缩小,相对梗死体积为 $16.3 \pm 3.1\%$,有显著性差异(P<0.01)。

2.2 TUNEL凋亡细胞

假手术组偶见TUNEL阳性细胞,缺血组海马区可见大量凋亡细胞,凋亡细胞数是 76.2 ± 12.6 。UCF组凋亡细胞数 48.6 ± 10.3 。与缺血组相比,UCF治疗组TUNEL阳性细胞数明显减少(P<0.01)。



图1 各组海马区神经元凋亡的比较(TUNEL法, × 200)

Fig. 1 Comparison of neuronal apoptosis of hippocampus in all groups (TUNEL, × 200)

2.3 Western Blot检测

如图所示,假手术组检测到少量pJNK蛋白的表达,与假手术组相比,缺血组海马区pJNK的表达水平明显增高(P<0.05),与缺血组比较,UCF组可减低海马区pJNK的表达水平(P<0.05)。假手术组检测到少量pERK蛋白的表达,与假手术组相比,缺血组海马区pERK的表达水平明显增高(P<0.05),与缺血组比较,UCF组可增加海马区pERK的表达水平(P<0.05)。

3 讨论

脑缺血/再灌注可引起海马等缺血敏感区的神经元凋亡^[15]。本研究结果显示,脑缺血组大鼠梗死体积和海马区凋亡细胞明显增加,UCF治疗组能减少大鼠脑梗死体积和海马区神经元凋亡,对脑缺血再灌注损伤具有一定的脑保护作用。我们的实验结果与Althaus等的研究结果基本相同^[4,5]。

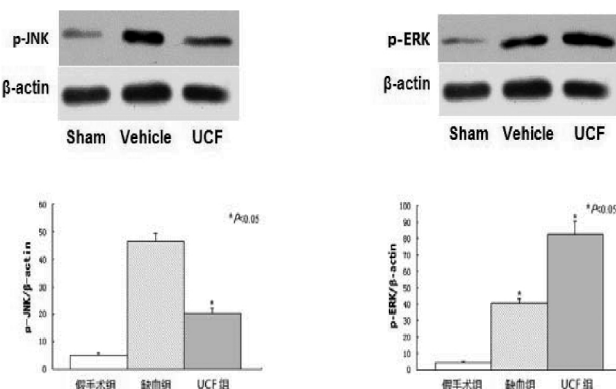


图2 各组p-JNK、pERK蛋白的表达(Western blotting法)

Fig. 2 The expression levels of p-JNK, pERK protein (Western blotting)

丝裂原激活蛋白酶(MAPK)是一组丝氨酸 / 苏氨酸蛋白激酶,控制细胞增值、分化、凋亡、存活等生理功能和过程,主要有ERKs/JNKs / SAPKs、P38MAPK 和 MEK5 / ERK5 等 4 条通路^[16],其中研究最多的是前 3 条通路。目前,ERK 通路在脑缺血损伤中的作用存在争议。但多数学者认为,ERK 信号通路是细胞的生存通路,抑制细胞凋亡中发挥重要的作用。JNK 信号通路是 MAPK 中重要的通路,也是存在于神经细胞中的信号转导途径,主要促细胞凋亡。抑制 JNK 及激活 ERK 信号通路均可不同程度地减少缺血海马细胞凋亡,保护海马功能^[17-20]。本实验可以观察到,相对于假手术组,脑缺血再灌注损伤组海马区 pJNK 和 pERK1/2 的表达水平显著增多,说明 JNK 及 ERK1/2 通路被激活,而 UCF 治疗组海马区 pJNK 的表达水平降低,pERK 的表达水平升高,表明 UCF-101 可能通过下调活化 JNK 的表达水平、上调活化 ERK1/2 的表达水平发挥保护海马区神经元。

综上所述,UCF-101 对脑缺血再灌注损伤有脑保护作用,其作用机制与降低 pJNK 的表达水平以及增加 pERK 的表达水平有关。UCF-101 可能通过抑制 JNK 通路和促进 ERK 通路抑制神经细胞凋亡,发挥神经保护作用。

参 考 文 献(References)

- [1] Suzuki Y, Takahashi-niki K, Akagi T, et al. Mitochondrial protease Omi/HtrA2 enhances caspase activation through multiple pathways [J]. Cell Death Differ, 2004, 11(2): 208-216
- [2] Verhagen AM, Silke J, Ekert PG, et al. HtrA2 promotes cell death through its serine protease activity and its ability to antagonize inhibitor of apoptosis proteins[J]. Biol Chem, 2002, 277 (1): 445-454
- [3] Cilenti L, Lee Y, Hess S, et al. Characterization of a novel and specific inhibitor for the pro-apoptotic protease HtrA2/Omi [J]. Biol Chem, 2003, 278: 11489-11494
- [4] Althaus J, Siegelin MD, Dehghani F, et al. The serine protease Omi/HtrA2 is involved in XIAP cleavage and in neuronal cell death following focal cerebral ischemia/reperfusion [J]. Neurochem Int, 2007, 50: 172-180
- [5] Su D, Su Z, Wang J, et al. UCF-101, a novel Omi/HtrA2 inhibitor, protects against cerebral ischemia/reperfusion injury in rats [J]. Anat Rec, 2009, 292 (6): 854-861
- [6] Liu H, Gao E, Hu A, et al. Role of Omi/HtrA2 in apoptotic cell death after myocardial ischemia and reperfusion[J]. Circulation, 2005, 111: 90-96
- [7] Bhuiyan MS, Fukunaga K. Inhibition of HtrA2/Omi ameliorates heart dysfunction following ischemia/reperfusion injury in rat heart in vivo [J]. Eur J Pharmacol, 2007, 557: 168-177
- [8] 王晓樑, 王瑾, 吕小萍, 等. 线粒体丝氨酸蛋白酶 Omi/HtrA2 与细胞凋亡[J]. 生理科学进展, 2006, 37 (3) : 285-288
Wang Xiao-liang, Wang Jin, Lv Xiao-ping, et al. The serine protease Omi/HtrA2 and apoptotic cell death [J]. Progress in Physiological Sciences, 2006, 37 (3): 285-288
- [9] 樊艳婷, 王利华, 王清艳, 等. Omi/HtrA2 在大鼠肾缺血 - 再灌注损伤诱导的细胞凋亡中的作用 [J]. 中国药物与临床, 2009, 6(6): 473-475
Fan Yan-ting, Wang Li-hua, Wang Qing-yan, et al. Role of Omi/HtrA2 in apoptotic cell death after myocardial ischemia and reperfusion in rats [J]. Chinese Remedies and Clinics, 2009, 6 (6): 473-475
- [10] 花兵, 董文斌, 李清平, 等. 新生大鼠窒息后肾组织 Omi/HtrA2 表达及 Ucf-101 干预效果 [J]. 中国当代儿科杂志, 2010, 12 (8): 659-661
Hua Bing, Dong Wen-bin, Li Qing-ping, et al. Effects of Ucf-101 on expression of Omi/HtrA2 in kidneys of postasphyxial neonatal rats[J]. Chinese contemporary Journal of Pediatrics, 2010, 12 (8): 659-661
- [11] Li F, Omori N, Sato K, et al. Coordinate expression of survival pERK and proapoptotic cytochrome signals in rat brain neurons after transient MCAO[J]. Brain Res, 2002, 958(1): 83-88
- [12] Jung JY, Yoo CI, Kim HT, et al. Role of mitogenactivated protein kinase (MAPK) in troglitazone-induced osteoblastic cell death [J]. Toxicology, 2007, 234 (1-2): 73-82
- [13] 王耀歧, 李军, 曹红, 等. ERK 和 JNK 通路在沙土鼠脑缺血预处理中的表达及作用[J]. 中国药理学通报, 2006, 22 (3): 337-340
Wang Yao-qi, Li Jun, Cao Hong, et al. The expression and role of ERK and JNK in cerebral ischemia preconditioning in gerbil [J]. Chinese Pharmacological Bulletin, 2006, 22 (3): 337-340
- [14] Longa EZ, Weinstein PR, Carlson S, et al. Reversible middle cerebral artery occlusion without craniectomy in rats [J]. Stroke, 1989, 20: 84-91
- [15] Zhao HG, Li WB, Li QJ, et al. Limb ischemic preconditioning attenuates apoptosis of pyramidal neurons in the CA1 hippocampus induced by cerebral ischemic reperfusion in rats [J]. Acta Physiologica Sinica, 2004, 56: 407-412
- [16] Johnson GL, Lapadat R. Mitogell-activated protein kinase pathways mediated by ERK, JNK, and p38 protein kinases [J]. Science, 2002, 298: 1911-1912
- [17] Wang X, Wang H, Xu L, et al. Significant neuroprotection against ischemic brain injury by inhibition of the MEK1 protein kinase in mice: exploration of potential mechanism associated with apoptosis [J]. Pharmacol Exp Ther, 2003, 304(1): 172-178
- [18] Fahlman CS, Bickler PE, Sullivan B, et al. Activation of the neuroprotective ERK signaling pathway by fructose-1,6-bisphosphate during hypoxia involves intracellular Ca²⁺ and phospholipase C [J]. Brain Res, 2002, 958(1): 43-51
- [19] 王妍心, 陈胜阳, 李军, 等. 亚低温对大鼠脑缺血 / 再灌注海马神经元 pJNK, AIF 的影响 [J]. 国际麻醉学与复苏杂志 2008, 29(2):109-112
Wang Yan-xin, Chen Sheng-yang, Li Jun, et al. Effects of mild hypothermia on p-JNK, AIF of hippocampus neuron treated with cerebral ischemia-reperfusion [J]. International Journal of Anesthesiology and resuscitation, 2008, 29(2): 109-112
- [20] 李军, 曹红. MAPK 级联反应与缺血性脑损伤[J]. 国外医学麻醉学与复苏分册, 2002, 23: 232-235
Li Jun, Cao Hong. MAPK cascade and ischemic brain injury [J]. Foreign Medical Sciences of Anesthesiology and resuscitation, 2002, 23: 232-235